

Triton X-100辅助溶剂热法合成锂电池负极材料花型SnS₂及其电化学性能*

张娟¹ 陈秀娟² 张鹏林¹

1. 省部共建有色金属先进加工与再利用国家重点实验室 兰州 730050
2. 兰州理工大学机电工程学院 兰州 730050

摘要 采用表面活性剂 Triton X-100 辅助溶剂热法合成花型纳米 SnS₂, 研究了表面活性剂添加量(0-2 mL)对样品的成分、形貌及电化学性能的影响。X射线衍射光谱(XRD)和能谱(EDS)的测试结果表明: 合成的材料为单相 SnS₂, 具有层状六方 CdI₂型晶体结构; 扫描电镜(SEM)观察结果表明, Triton X-100 在控制花型 SnS₂形貌的过程中起了决定性作用, 当 Triton X-100 的添加量为 0.5 mL 时样品的结晶度最好, 花型结构饱满, 形貌最佳; 电化学性能测试结果表明: Triton X-100 添加量为 0.5 mL 时, 在 0.01-1.2 V 电压范围及 0.15C 倍率下花型纳米 SnS₂ 的首次放电比容量可达 1598 mAh·g⁻¹, 首次可逆比容量为 656 mAh·g⁻¹, 循环 50 次后可逆比容量为 572 mAh·g⁻¹, 容量保持率达到 87.2%。

关键词 材料合成与加工工艺, Triton X-100, 溶剂热法, 花型纳米 SnS₂, 电化学性能

分类号 TB321, TM910

文章编号 1005-3093(2016)01-0063-05

Synthesis and Electrochemical Properties of Flower-like SnS₂ by Triton X-100 Assisted Hydrothermal Method as Negative Electrode Material for Lithium Ion Batteries

ZHANG Juan¹ CHEN Xiujuan^{2**} ZHANG Penglin¹

1. State Key Laboratory of Advanced Processing and Recycling of Non-ferrous Metals, Lanzhou University of Technology, Lanzhou 730050, China

2. School of Mechanical and Electronical Engineering, Lanzhou University of Technology, Lanzhou 730050, China

*Supported by National Natural Science Foundation of China No.51161012.

Manuscript received July 15, 2015; in revised form August 20, 2015.

**To whom correspondence should be addressed, Tel:(0931)2973562, E-mail: chxj305@163.com

ABSTRACT Flower-like nanostructured SnS₂ was synthesized by polyethylene glycol octylphenol ether (Triton X-100)-assisted hydrothermal method, the effect of the amount of surfactant Triton X-100 on the ingredient, morphology and electrochemical properties of the synthesized product was studied. Results show that the product is single-phase SnS₂ with crystal structure of hexagonal CdI₂. The Triton X-100 plays a dominative role in controlling the morphology of SnS₂. With a dosage of 0.5 mL Triton X-100 the synthesized SnS₂ possesses the highest degree of crystallinity with a fully flower-like morphology. A rechargeable Li-ion batteries with the as-prepared flowerlike nanostructured SnS₂ as anode exhibits excellent electrochemical performance with high initial discharge specific capacity 1598 mAh·g⁻¹ and reversible capacity 656 mAh·g⁻¹ respectively, in a voltage range of 0.01-1.2 V and a rate of 0.15C. After 50 cycles with a rate of 0.15C, the specific capacities retain 572 mAh·g⁻¹ and capacity retention rate can reach 87.2%.

KEY WORDS synthesizing and processing technics, Triton X-100, hydrothermal method, flower-like SnS₂ nanostructure, electrochemical properties

碳负极材料具有价格低廉、循环稳定性好、充放

电过程中体积变化小、对锂的电位较低等特点, 成为研究较多的一种锂离子电池负极材料^[1]。目前, 商业化的锂电池负极材料几乎都是碳材料^[2]。但是碳负极材料的理论比容量较低(372 mAh·g⁻¹), 且第一次充放电不可逆、比容量损失严重^[3]。因此, 提高电

* 国家自然科学基金 51161012 资助项目。

2015年7月15日收到初稿; 2015年8月20日收到修改稿。

本文联系人: 陈秀娟

DOI: 10.11901/1005.3093.2015.406

池的充放电比容量及循环稳定性成为锂电池负极材料研究的难点。研究发现,金属锡的理论比容量高达 $991 \text{ mAh}\cdot\text{g}^{-1}$,因此关于锡基锂电池负极材料的研究引起了人们的关注^[4-6]。锡的硫化物主要有 SnS 和 SnS_2 ,其中 SnS_2 具有较高理论比容量($645 \text{ mAh}\cdot\text{g}^{-1}$),是一种潜在的可替代碳材料的锂离子电池负极材料。但是, SnS_2 在锂离子嵌入与脱出的可逆过程中有较大的体积变化,易出现电极粉化、容量衰减等问题。目前,主要通过材料的纳米化、多级化、复合化或将其两两结合的途径加以解决。

研究人员已采用微波合成、化学液相沉积、溶胶-凝胶等方法制备出纳米片^[7,8]、纳米管^[9]、纳米颗粒^[10]状 SnS_2 ;借助水热合成法制备了多级 SnS_2 ^[11]、复合材料 $\text{SnO}_2@\text{SnS}_2$ ^[12] 及 SnS_2 -石墨烯^[13,14]。其中自组装成的多孔结构具有优异的性能,若将两者复合可有效地防止纳米粒子的沉积,抑制活性粒子的粉化和聚合,从而提高电极利用率。但是,这些研究过程复杂,对设备的要求较高,不适合广泛商业化。本文采用溶剂热法,使用表面活性剂 Triton X-100 辅助合成具有花型结构的多级纳米 SnS_2 以改善样品电极在充放电循环过程中的稳定性,提高其可逆比容量。本文借助 XRD、EDS 和 SEM 等测试分析手段,研究不同的表面活性剂添加量对其结构、表面形貌的影响,并测试其作为锂电池负极材料的电化学性能。

1 实验方法

1.1 三维花型 SnS_2 纳米结构的制备及表征

将 $5 \text{ mmol SnCl}_2\cdot 2\text{H}_2\text{O}$ 溶于 75 mL 无水乙醇中搅拌 5 min ,再分别将 $0, 0.5, 1.0, 2.0 \text{ mL}$ 的 Triton X-100 加入溶液中迅速搅拌,再添加 5 mmol 硫代乙酰胺到已制备好的前驱体中。将该混合溶液高速搅拌 60 min 后转移至 100 mL 聚四氟乙烯内衬不锈钢高压反应釜中,密封后加热至 180°C 并保温 10 h 。待其自然冷却至室温后将黄色沉淀物通过离心收集,交替用去离子水和无水乙醇洗涤数次,在 60°C 真空条件下干燥 12 h 后得到黄色的最终产物。

用型号为 Rigaku-D/max-2400 的 X 射线衍射仪(选用 Cu 靶,测试电压为 40 kV ,电流为 150 mA ,扫描速度为 $8^\circ/\text{min}$,步长为 0.02° ,扫描范围为 $10^\circ\sim 80^\circ$)测试黄色产物的物相组成;用型号为 JSM-6700F 的场发射扫描电子显微镜及其附带的 Quanta 450 能谱仪(EDS)分析样品的粒度、微观形貌及成分。

1.2 样品的性能表征

将所制备的 SnS_2 粉末、乙炔黑和粘结剂聚偏氟乙烯(PVDF)按照质量比 $7:1.5:1.5$ 的比例混合,再加

入适量的 N-甲基-2-吡咯烷酮溶液,不断搅拌使其混合均匀。然后将其均匀涂覆在直径为 8 mm 的铜箔上,在 120°C 真空条件下干燥 12 h 后在压片机上压制成工作电极。用金属锂片作为对电极和参比电极, SnS_2 电极为研究电极, $1 \text{ mol}\cdot\text{L}^{-1}$ 的 $\text{LiPF}_6/\text{EC}:\text{DMC}:\text{DEC}$ (体积比 $1:1:1$) 为电解液,双层微孔聚丙烯(PP)膜 Celgard 2400 为隔膜,在充满氩气的手套箱中装配 CR2032 型扣式电池,然后静置 24 h 。

使用 Land CT2001A 电池测试系统测试(武汉金诺电子)材料在 $100 \text{ mA}\cdot\text{g}^{-1}$ (约 0.15C) 电流下的充放电性能,测试电压范围 $0.01\sim 1.2 \text{ V}$ 。

2 结果和讨论

2.1 SnS_2 的组成和形貌

表面活性剂 Triton X-100 是一种非离子表面活性剂,在水中不电离且具有较好的溶解性,可用于辅助水热法/溶剂热法合成^[15]。图 1 给出了 Triton X-100 不同添加量下合成样品的 XRD 图谱。可以看出,4 组粉末样品的物相相同,每个衍射峰峰位与六方晶系 SnS_2 的标准卡片的标准 JCPDS 卡片(PDF no. 23-677)的峰位完全对应,且无杂相衍射峰出现。这说明,合成的粉末均为单一的 SnS_2 相,具有层状六方 CdI_2 型晶体结构;衍射峰强度较高且峰形尖锐,表明样品的结晶度较高。

图 2 给出了 EDS 图谱。分析结果进一步表明 $\text{Sn}:\text{S}$ 的原子比为 $1:2$,合成的产物为单相 SnS_2 。图 3 给出了 Triton X-100 不同添加量时样品的 SEM 图片。未添加 Triton X-100 时合成产物形状不规则,晶型不完美,颗粒尺寸大小不均匀(图 3a);对于单个的花型结构,生长不完全,局部有缺陷,且相邻花瓣状片层的缝隙中有较多的纳米颗粒存在。Triton X-100 添加量为 0.5 mL 时,产物形貌较好(图 3b);从其高倍率的

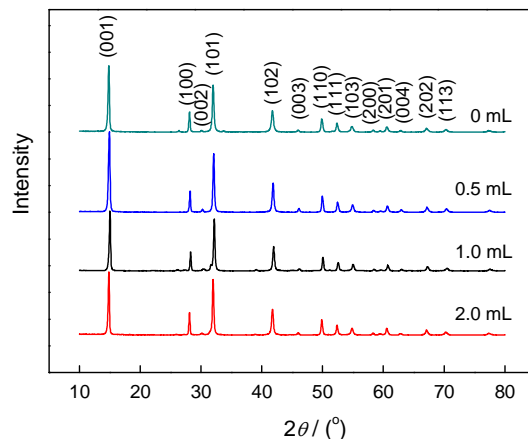


图1 不同 Triton X-100 添加量样品的 XRD 图谱
Fig.1 XRD patterns of the as-prepared samples with Triton X-100

图3c, d可更为清楚地观察到, 花型 SnS_2 的花瓣状片层结构显著增多, 表面平整, 且与花型结构共存的纳米颗粒减少, 花型结构饱满, 但粒径有所增大, 基本为直径在 $8\ \mu\text{m}$ 左右的花型多孔结构。这表明, 在前驱体中添加适量的 Triton X-100 能改善花型 SnS_2 的形貌。随着 Triton X-100 添加量逐渐增多, 可以清楚地观察到产物之间出现严重的团聚, 产物的尺寸有所减小, 表面平整光滑, 但是每个花型结构生长的不完全(图3e)。Triton X-100 添加量增至 $2.0\ \text{mL}$ 时

形成 SnS_2 沉淀的过程中 Triton X-100 基团一端与沉淀物粒子结合, 使其固定在粒子表面, 另一端在溶液中充分伸展, 阻止粒子相互靠近形成位阻层, 阻碍粒子的碰撞团聚和重力沉降。同时, Triton X-100 包覆在产物外表, 形成低表面能的单分散颗粒, 使颗粒之间无法重新团聚形成二次颗粒, 有利于花型结构的生长。另一方面, 表面活性剂的用量有一最佳值, 若表面活性剂的浓度过高, 溶液中的胶团过饱和, 粒子表面形成过饱和吸附, 胶团之间相互纠缠在一起, 使

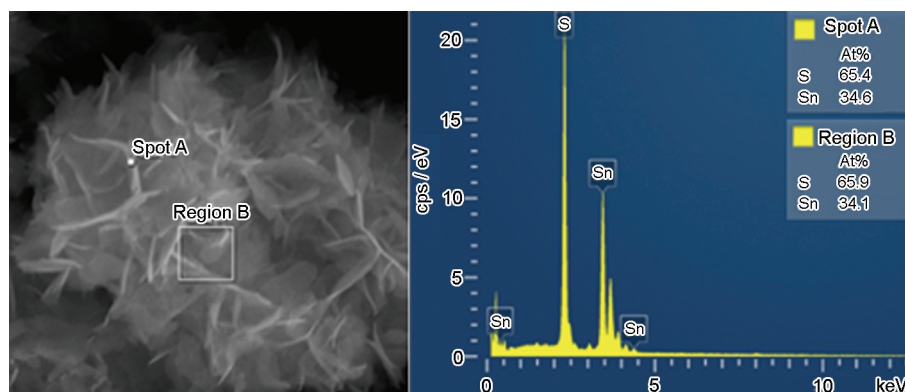


图2 Triton X-100 添加量为 $0.5\ \text{mL}$ 样品的EDS图谱

Fig.2 EDS patterns of the as-prepared samples with $0.5\ \text{mL}$ Triton X-100

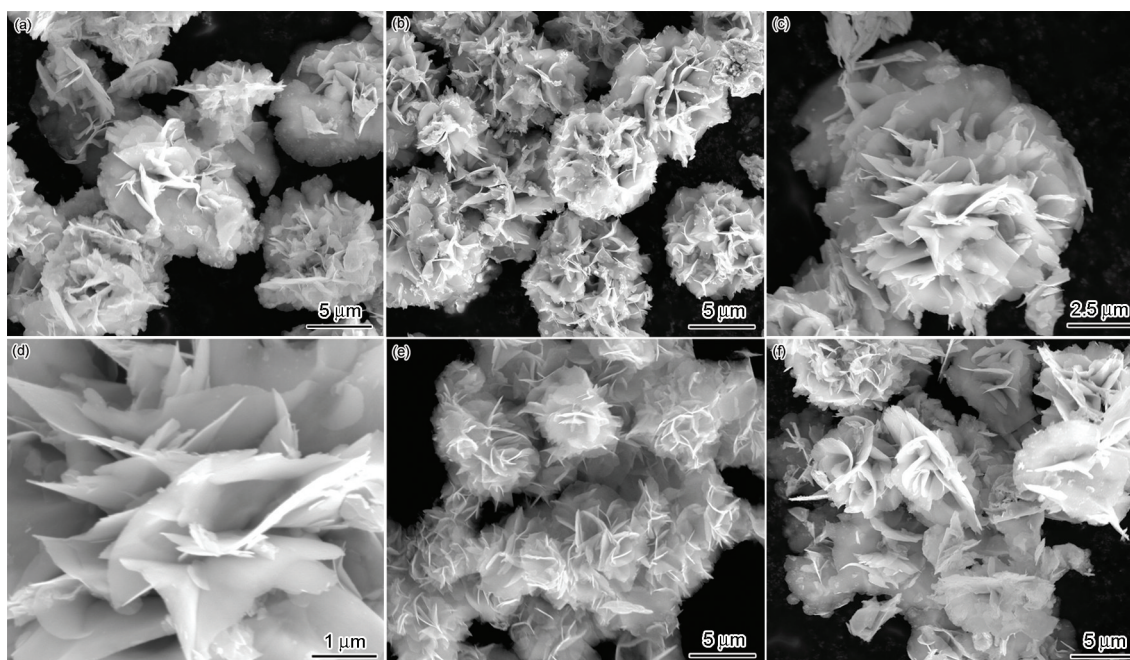


图3 不同 Triton X-100 添加量样品的SEM像

Fig.3 SEM images of the as-prepared samples with Triton X100 (a) $0\ \text{mL}$, (b) $0.5\ \text{mL}$, (c) a single pattern structure of $0.5\ \text{mL}$, (d) local pattern structure of $0.5\ \text{mL}$, (e) $1\ \text{mL}$, (f) $2\ \text{mL}$

SnS_2 的花型结构形状逐渐消失, 产物中出现碎片且有团聚现象(图3f)。

样品形态的变化表明, Triton X-100 在控制花型 SnS_2 形貌的过程中起着决定性的作用。一方面, 在

粒子团聚沉积; 此外, 花型结构未形成或者花瓣状片层沉积在一起被破坏而导致脱落, 则有碎片出现在产物中^[16]。

2.2 花型 SnS_2 的电化学性能

图4给出了 Triton X-100 添加量在 0, 0.5 mL 时样品在电流密度 $100 \text{ mAh} \cdot \text{g}^{-1}$ (0.15C)、电压范围 $0.01\text{--}1.2 \text{ V}$ 下的充放电曲线图。SnS₂ 作为锂离子负极材料其充放电机理与 SnO₂ 相似。可以明显看出, 两个样品电极均有三个放电平台。根据文献[17, 18]报道, 首次放电曲线在 1.8 V 处均有一个较小的放电平台, 这是少量锂离子嵌入 SnS₂ 层未及时脱出造成的, 如反应式(1)。但是, 该过程没有引起相分解。而 1.3 V 处出现明显的放电平台, 是 SEI 膜的形成以及 Li_xSnS₂ 分解成 Sn 和 Li₂S 造成的, 如反应式(2)。最后一个放电平台出现在 0.5 V 左右, 因为发生了合金化反应。分解出的 Sn 随后与锂离子反应生成 Li-Sn 合金, 如反应式(3), 再进行可逆的脱嵌锂反应。Li₂S 的作用是作为一个非活性的缓冲相, 形成非活性 Li₂S/活性 Sn 体系, 缓解 Sn 在脱嵌锂过程中的体积膨胀。在随后的循环中放电平台基本都出现在 $0\text{--}0.5 \text{ V}$ 之间, 这与反应式(3)中的可逆的化学反应过程有关。

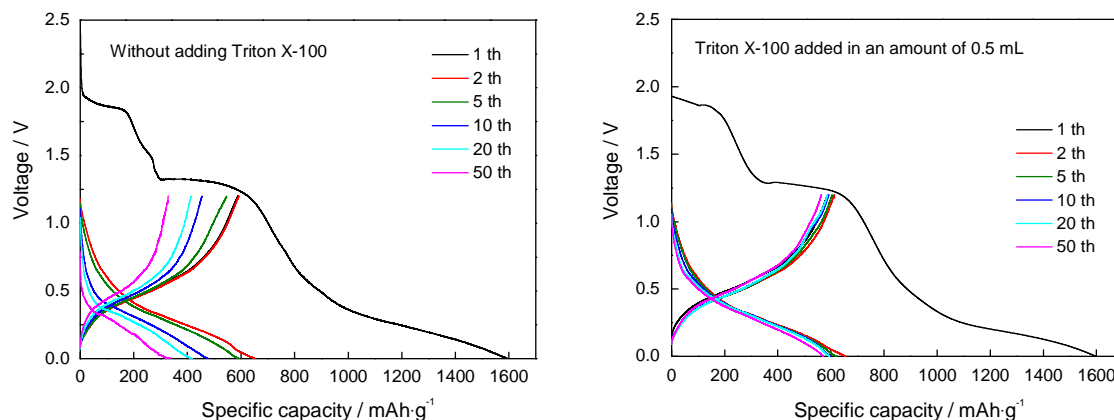


图4 电流密度为 $100 \text{ mAh} \cdot \text{g}^{-1}$ (0.15C) 时不同 Triton X-100 添加量样品的充放电曲线

Fig.4 Charge-discharge curves of the as-prepared samples with Triton X-100 at a current density of about

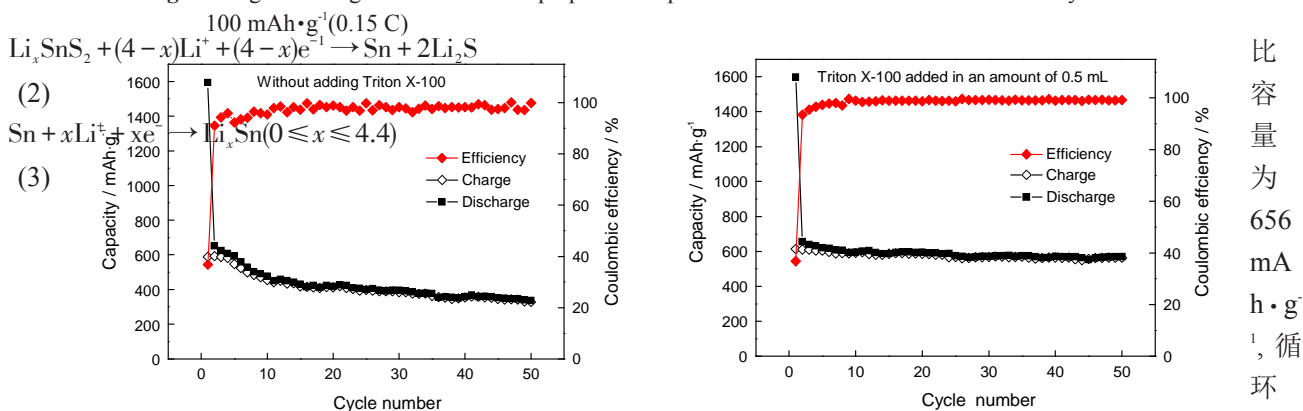


图5 电流密度为 $100 \text{ mAh} \cdot \text{g}^{-1}$ (0.15C) 时不同 Triton X-100 添加量样品的循环性能曲线

Fig.5 Cyclic behavior of the as-prepared samples electrodes with Triton X-100 at a current density of about $100 \text{ mAh} \cdot \text{g}^{-1}$ (0.15 C)

图4给出的未添加 Triton X-100 样品电极的充放电曲线变化趋势明显, 分布比较分散。首次放电比容量为 $1594 \text{ mAh} \cdot \text{g}^{-1}$, 首次可逆比容量为 $651.3 \text{ mAh} \cdot \text{g}^{-1}$, 与 Triton X-100 添加量为 0.5 mL 的样品电极接近。但是经过 20 次和 50 次循环后其放电比容量分别为 $417.4 \text{ mAh} \cdot \text{g}^{-1}$ 和 $336.9 \text{ mAh} \cdot \text{g}^{-1}$, 容量快速衰减。而 Triton X-100 添加量为 0.5 mL 的样品电极充放电曲线分布非常集中, 首次放电比容量为 $1598 \text{ mAh} \cdot \text{g}^{-1}$, 循环 50 次后可逆比容量为 $572 \text{ mAh} \cdot \text{g}^{-1}$, 比首次可逆比容量 ($656 \text{ mAh} \cdot \text{g}^{-1}$) 衰减得慢。这表明, Triton X-100 添加量为 0.5 mL 的样品比未添加 Triton X-100 样品电极的可逆比容量高, 且在多次循环后比容量损失很小, 说明样品结晶度以及形貌对电极性能的好坏起着决定性的作用。

图5给出了 Triton X-100 添加量在 0.0 mL 、 0.5 mL 时样品在电流密度 $100 \text{ mAh} \cdot \text{g}^{-1}$ (0.15C)、电压范围 $0.01\text{--}1.2 \text{ V}$ 下的循环性能曲线。对比结果表明, Triton X-100 添加量为 0.5 mL 的样品具有良好的循环性能, 首次放电比容量可达 $1598 \text{ mAh} \cdot \text{g}^{-1}$, 首次可逆

比容量为 $656 \text{ mAh} \cdot \text{g}^{-1}$, 循环 50

次以后可逆比容量为 572 mAh·g⁻¹, 容量保持率可达 87.2%。

从以上实验结果可以看出, Triton X-100辅助溶剂热所合成的花型多孔 SnS₂具有优异的电化学性能。其电化学性能提高的原因是: 首先, 较薄的花瓣状片层自组装而成的多孔结构使材料的比表面积增大, 为锂离子的脱嵌提供了更多的位点, 有利于锂离子的附着, 使得电极与电解液能够充分接触, 电极得以充分反应, 活性物质充分利用; 同时也缩短了电子和锂离子的扩散路径, 从而提高了锂电池的可逆比容量。其次, 在花型结构中花瓣状片层增多, 片层与片层之间空隙增多, 有足够的空间缓冲充放电过程中样品电极的体积膨胀, 且花瓣状片层结构较致密, 不易脱落。因此, 所造成的晶格破坏较小, 在较大程度上缓解了电极粉化, 在多次循环后仍然保持较高的可逆比容量, 提高了电极的循环稳定性。

3 结 论

1. 采用溶剂热法可合成层状六方 CdI₂型的三维花型 SnS₂单相纳米结构, 表面活性剂 Triton X-100在控制花型 SnS₂的相结构和组织形貌中起着决定性的作用。当其添加量为 0.5 mL 时产物的结晶度较好, 花瓣状片层结构增多, 花型结构饱满, 形貌最佳。

2. Triton X-100 的添加量为 0.5 mL 时制备的花型纳米 SnS₂在充放电电压 0.01–1.2 V、电流密度为 100 mAh·g⁻¹(0.15C)下, 首次放电比容量可达 1598 mAh·g⁻¹, 首次可逆比容量为 656 mAh·g⁻¹, 循环 50 次后可逆比容量为 572 mAh·g⁻¹, 比容量保持率可达 87.2%, 与未添加 Triton X-100 的样品相比, 其循环稳定性和放电比容量均有提高。

参 考 文 献

- 1 Y. Wang, G. Z. Cao, Developments in nanostructured cathode materials for high-performance lithium-ion batteries, *Adv. Mater.*, **20** (12), 2251(2008)
- 2 XU Yanhui, The negative-electrode material electrochemistry for the Li-ion battery, *Rare Metal Materials and Engineering*, **33**(1), 1 (2004)
(徐艳辉, 二次锂电池负极材料电化学, 稀有金属材料与工程, **33** (1), 1(2004))
- 3 F. Caruso, R. A. Caruso, H. Mohwald, Nano engineering of inorganic and hybrid hollow spheres by colloidal templating, *Science*, **282** (5391), 1111(1998)
- 4 Jung-wook Seo, Jung-tak Y. Jang, Seung-won Park, Jinwoo Cheon, Two-dimensional SnS₂ nanoplates with extraordinary high discharge capacity for lithium ion batteries, *Adv. Mater.*, **20**(22), 4269 (2008)
- 5 Y. Yu, L. Gu, C.L. Wang, Abirami Dhanabalan, Peter A van Aken, Joachim Maier, Encapsulation of Sn@carbon nanoparticles in bamboo-like hollow carbon nanofibers as an anode material in lithium-based batteries, *Angew. Chem. Int.*, **48**(35), 6485(2009)
- 6 Y. Q. Zou, Y. Wang, Sn@CNT nanostructures rooted in grapheme with high and fast Li-storage capacities, *ACS Nano*, **5**(10), 8108 (2011)
- 7 Chitta R. Patra, Ayelet Odani, Vilas G. Pol, Doron Aurbach, Aharon Gedanken, Microwave-assisted synthesis of tin sulfide nanoflakes and their electrochemical performance as Li-inserting materials, *Solid State Electrochem*, **11**(2), 186(2007)
- 8 H. J. Geng, Y. J. Su, H. Wei, M. H. Xu, L. M. Wei, Z. Yang, Y. F. Zhang, Controllable synthesis and photoelectric property of hexagonal SnS₂ nanoflakes by Triton X-100 assisted hydrothermal method, *Materials Letters*, **111**, 204(2013)
- 9 Tae-Joon Kim, Chunjoong Kim, Dongyeon Son, Myungsuk Choi, Byungwoo Park, Novel SnS₂-nanosheet anodes for lithium-ion batteries, *Power Sources*, **167**(2), 529(2007)
- 10 X. L. Gou, J. Chen, W. Shen, Synthesis, characterization and application of SnS_x(x=1, 2) nanoparticles, *Materials Chemistry and Physics*, **93**, 557(2005)
- 11 S. Liu, X. M. Yin L. B. Chen, Q. L. Li, T. H. Wang, Synthesis of self-assembled 3D flower-like SnS₂ nanostructures with enhanced lithium ion storage property, *Solid State Sci*, **12**(5), 712(2010)
- 12 W. Shi, B. G. Lu, Nanoscale kirkendall effect synthesis of echinus-like SnO₂@SnS₂ nanospheres as high performance anode material for lithium ion batteries, *Electrochimica Acta*, **133**, 247(2014)
- 13 C. F. Shen, L.Y. Ma, M. B. Zheng, B. Zhao, Synthesis and electrochemical properties of graphene-SnS₂ nanocomposites for lithium-ion batteries, *Solid State Electrochem*, **16**(5), 1999(2012)
- 14 Q. Q. Zhang, R. Li, M. M. Zhang, B. L. Zhang, X. L. Gou, SnS₂/reduced graphene oxide nanocomposites with superior lithium storage performance, *Electrochimica Acta*, **115**, 425(2014)
- 15 ZHOU Chao, GAO Yanmin, WANG Dan, HAN Lian, FENG Qing, Influence of surfactant PVP and CTAB synergistic effect on the preparation of Cu₂ZnSnS₄(CZTS) particles, *Chinese Journal of Materials Research*, **27**(5), 515(2013)
(周 超, 高延敏, 王 丹, 韩 莲, 冯 清, 表面活性剂 PVP、CTAB 协同效应对制备 Cu₂ZnSnS₄微粒的影响, 材料研究学报, **27**(5), 515(2013))
- 16 ZHANG Jinzhong, WANG Zhonglin, LIU Jun, CHEN Shaowei, LIU Gangyu, *Self-Assembled Nanostructures*, (Beijing, Chemical Industry Press, 2005) p. 10
(张金中, 王中林, 刘 俊, 陈少伟, 刘刚玉, 自组装纳米结构, (北京, 化学工业出版社, 2005) p.10)
- 17 J. Morales, C. Perez-Vicente, J. L. Tirado, Chemical and electrochemical lithium intercalation and staging in 2H-SnS₂, *Solid State Ionics*, **51**(3-4), 133(1992)
- 18 C. Julien, C. Perez-Vicente, Vibrational studies of lithium-intercalated SnS₂, *Solid State Ionics*, **89**(3-4), 337(1996)